

**DOSSIER FOTOGRAFICO**  
**HOJA 31-11 (250) -GRAUS-**

**DOSSIER FOTOGRAFICO**  
**HOJA 31-11 (250) -GRAUS-**



Foto 1.- Vista panorámica del relieve conforme del anticlinal de Mediano (en segundo término, por encima de la pista en construcción) tomada desde el sur (alto de San Martín). Las capas que lo dibujan corresponden a las calizas del Paleoceno e Ilerdiense inferior. Al fondo se intuye el Embalse de Mediano. En primer plano se aprecia un contacto por falla entre las calizas de Grustán (a la izquierda) y capas menos resistentes de areniscas y arcillas de la formación de Perarrúa. El contacto, por el que discurre un cortafuegos, es una falla del sistema de Caneto-Secastilla.



Foto 2.- Vista del flanco oeste del anticlinal de Mediano en las proximidades de la presa del Embalse del mismo nombre. Las capas, que buzan al oeste, corresponden a las calizas del Ilerdiense inferior, seguidas de un tramo menos resistente margoarenoso del Ilerdiense medio-Cuisiense inferior, coronadas de nuevo por calizas y calcarenitas cuiensis (formación de Boltaña). La fotografía está tomada desde el sur, desde la ermita de San Vicente de Samitier.



Foto 3.- Aspecto de la discordancia de Mediano, en el flanco oeste del anticlinal. Las capas fuertemente inclinadas del Cretácico superior y Paleoceno son recubiertas discordantemente por brechas calcáreas, margas y calcarenitas del Luteciense. En primer plano la ermita de San vicente de Samitier.



Foto 4.- Aspecto del graben de Palo (en último plano), que aparece como una zona relativamente dprimida entre los relieves calcáreos del anticlinal de Mediano (derecha) y el Tozal de Salinas (izquierda). Al pie del relieve de Mediano se observa la localidad de Palo. Esta fotografía está tomada desde el norte (carretera de Tierrantona a Palo).



Foto. 5.- Imagen de la franja de Jurásico y Cretácico superior de Lapenilla (pueblo situado al pie de un escarpe calcáreo a la derecha de la fotografía) tomada desde el oeste. Inmediatamente al otro lado del embalse (El Grado I), se observa una serie de calizas y margas lutecienses, discordantes sobre el mesozoico y suavemente inclinadas hacia el sur. En tercer plano a la izquierda destaca el relieve de los conglomerados oligo-miocenos de Graus, que yacen sobre la formación más incompetente de Escanilla.



Foto 6.- Discordancia angular entre los conglomerados de Graus (por encima) y los conglomerados superiores de la formación de Escanilla (por debajo) en las estribaciones del alto de San Martín (Tozal Panchudo). La imagen está tomada desde el este (pista de Puy de Cinca).



Foto 7.- Aspecto de las calizas tableadas (facies Muschelkalk) y margas triásicas intensamente deformadas por varias generaciones de pliegues en el interior del diapiro de la Puebla de Castro (carretera de Secastilla).



Foto 8.- Serie invertida del Cretácico superior y Paleoceno del afloramiento de El Grado-Torre-ciudad, vista desde la margen este del Embalse (área de Toprreciudad). Sobre estos materiales se disponen discordantes brechas de cantos calcáreos de edad terciaria, que rellenan un pequeño paleorrelieve deprimido.



Foto 9.- Aspecto de detalle de la misma unidad invertida, en este caso representada por las calizas del Herdiense inferior (área de Torre-ciudad). Observese el clivaje grosero existente y su relación de flanco inverso con la estratificación (más inclinada)



Foto 10.- Vista panorámica de los conglomerados de Campanue (unidad 17), sobre las facies de llanura deltaica, de la Fm. de Perarrúa (unidad 18). El nivel inferior de coonglomerados pasa a facies de paleocanales areniscoso-conglomeráticos, hacia la izquierda de la fotografía. En esa zona y bajo los conglomerados se observa la localidad abandonada de Bafaluy. Fotografía tomada dede el Castillo de Fantova.



Foto 11.- Detalle de las facies de frente deltaico inferiores de la Fm. de Perarrua (unidad 19). Se observa un "set" de estratificación cruzada sigmoidal en la parte baja de una barra de desembocadura deltaica. Las láminas se inclinan hacia el oeste (izquierda). Fotografía tomada en el fondo del barranco de Rialares.



Foto 12.- Conglomerado grueso a techo de una de las barras de desembocadura deltaica de la Fm. de Perarrúa (unidad 19). Sobre él se encuentran lutitas de llanura deltaica y un nivel de margocaliza lacustre o lagunar. Fotografía tomada en el Barranco de las Mellas.



Foto 13.- Aspecto general de las facies lutíticas de "offshore" de la Fm. de Perarrúa (unidad 20). Sobre ellas progradada un nivel arenoso, en facies de frente deltaico (unidad 23). Fotografía está tomada en el barranco de las Insulas.



Foto 14.- Paleocanal de arenisca y conglomerado sobre facies areniscoso lutíticas con paleosuelos. Corresponde la zona de interdigitación entre los conglomerados masivos de la Fm. de Campanue y los paleocanales de la Fm. de Capella. Fotografía tomada en las proximidades de la Torre del Grado.



Foto 15.- Aspecto típico de la Fm. de Capella (unidad 24). Se observan dos paleocanales fluviales entre lutitas beiges y capas tabulares de arenisca, que representan facies de desbordamiento y de llanura de inundación. Fotografía tomada en las proximidades de El Món.



Foto 16.- Barra de meandro situada en la parte baja de la Fm. de Capella. Nótese el ángulo de divergencia entre el grupo de "scroll bars" que ocupa la mayor parte de la fotografía y el paleocanal que se encuentra en la parte superior del afloramiento. Este último se interpreta como un canal de "chute". Fotografía tomada en las proximidades de La Cruz de Benabente.



Foto 17.- Niveles de paleosuelos de la Fm. de Capella. Fotografía tomada en las proximidades de la caseta de Cuesta.



Foto 18.- Vista general del cañón de Besians. En la derecha de la fotografía, por encima del pueblo, se ven las capas de arenisca bien estratificadas de la Fm. de Perarrúa. Nótese como quedan truncadas por la superficie de erosión y sustituidas por lutitas. Nótese también la geometría escalonada del margen septentrional (derecha). Fotografía tomada desde el margen este del río Esera.



Foto 19.- Vista panorámica de la Sierra de Grustán. En la parte inferior de la fotografía, junto a las casas, afloran las lutitas con paleocanales de la Fm. de Capella. Los niveles areniscos continuos que afloran por encima corresponden a la Fm. de Pano. El resalte que forma la cima de la montaña, corresponde a las calizas de la Fm. de Grustán. Fotografía tomada desde las proximidades de la ermita de Santa Clara.



Foto 20.- Facies de frente deltaico de la Fm. de Pano. Fotografía tomada en las proximidades de kilómetro 13 de la carretera local que va de Graus a Tierrantona.

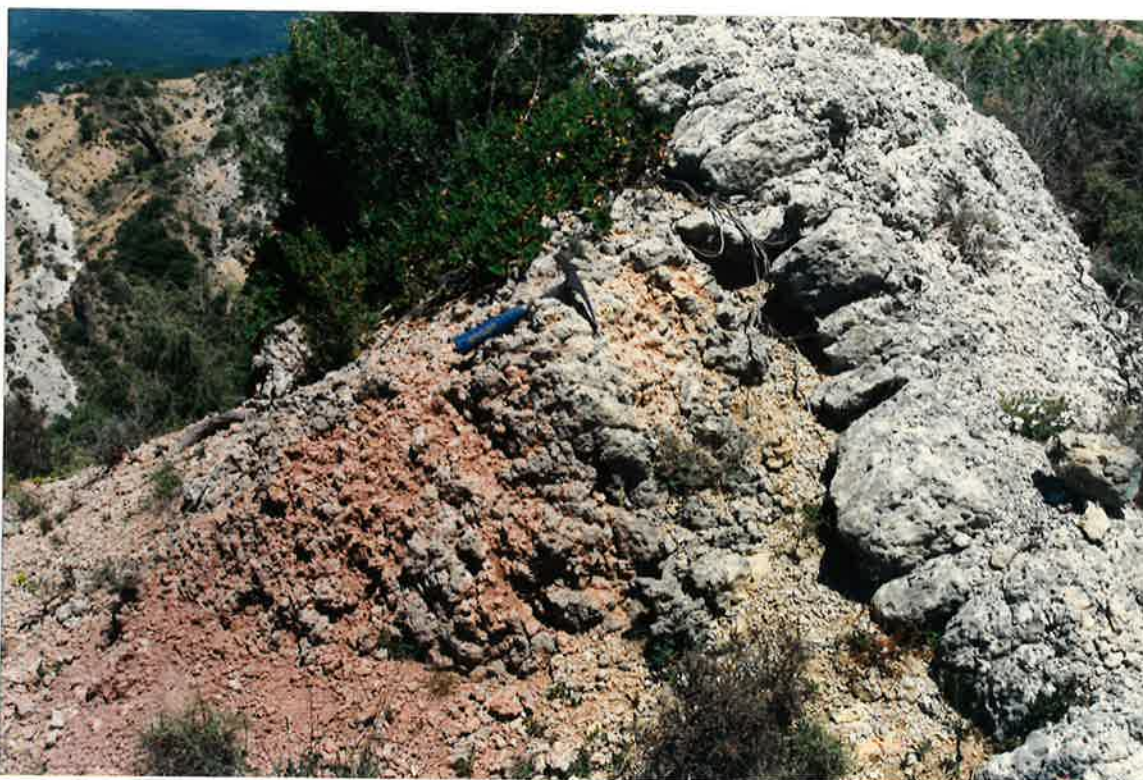


Foto 21.- Niveles de paleosuelos calcimórfos nodulares, en la parte alta de la Fm. de Escanilla. Fotografía tomada en las proximidades de Palo.



Foto 22.- Lutitas con capas tabulares bioclásticas, deformadas por un olistón subsférico de caliza arrecifal (unidad 28). Fotografía tomada en las proximidades de el Barrio Nuevo de Mediano.



Foto 23.- Facies lutítico-areniscosas de talud, con discordancias intraformacionales (unidad 26). Fotografía tomada en las proximidades de la ermita de Santiago.



Foto 24.- Facies areniscoso-lutíticas con superficies erosivas y discordancias intraformacionales (unidad 31). Fotografía tomada en las proximidades de Abizanda.



Foto 25.- Cglomerados de Graus (unidad 40), discordantes sobre las calizas de la Fm. de Grustán.. Fotografía tomada en las proximidades de la ermita de San Pedro.